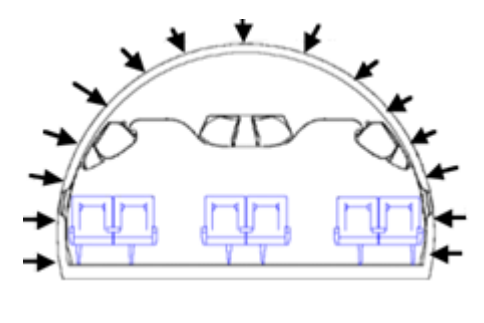
Возмущения поля пристеночных пульсаций давления выступающими телами в турбулентном пограничном слое

А.Ю. Голубев, С.В. Кузнецов

Центральный аэрогидродинамический институт им. проф. Н.Е. Жуковского

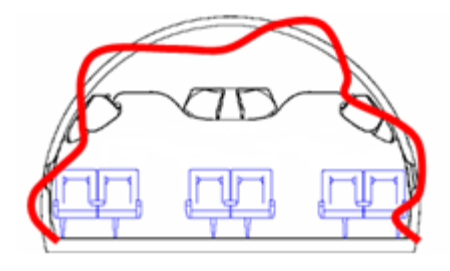
Введение

Пульсации давления



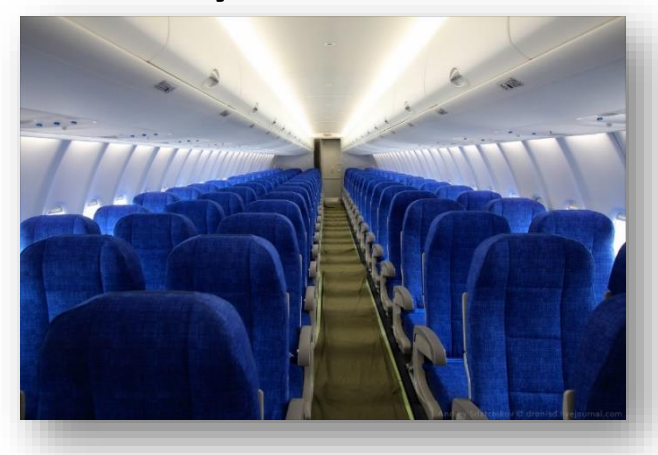


Колебания конструкции





Шум в салоне

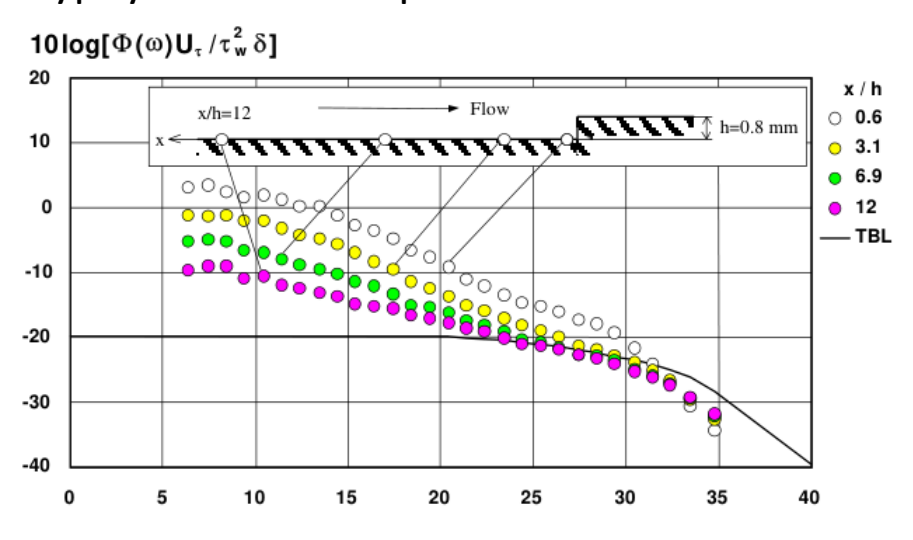


Усталостная прочность

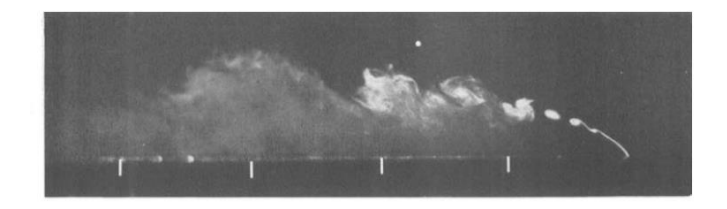


Введение

Пульсации давления в окрестности прямых и обратных уступов в турбулентном пограничном слое



Efimtsov et al. //
AIAA Paper, 1999. 99-1964
AIAA Paper, 2000. 2000-2053
AIAA Paper, 2002. 2002-2605



Механизмы образования пульсаций давления.

Kiya & Sasaki // JFM, 1983. V. 13.

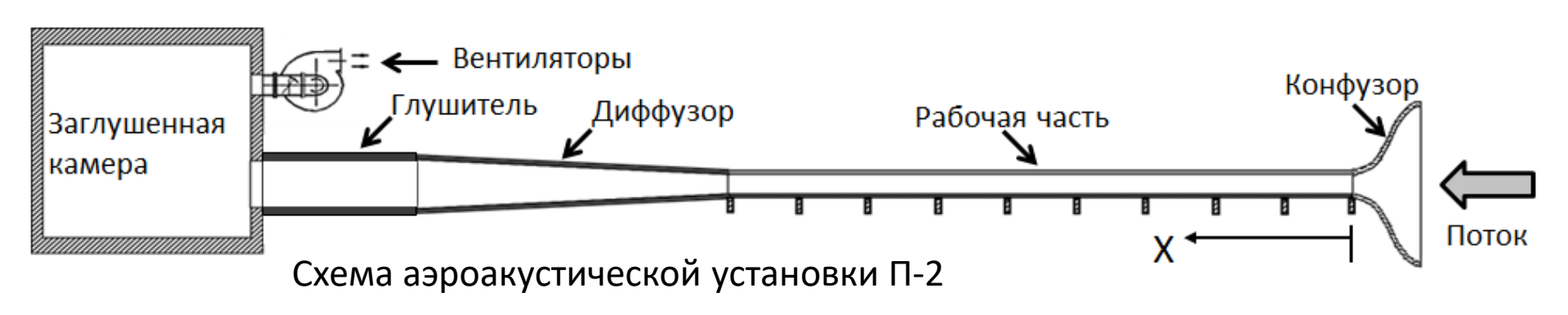
Cherry et al. // JFM, 1984. V. 144.

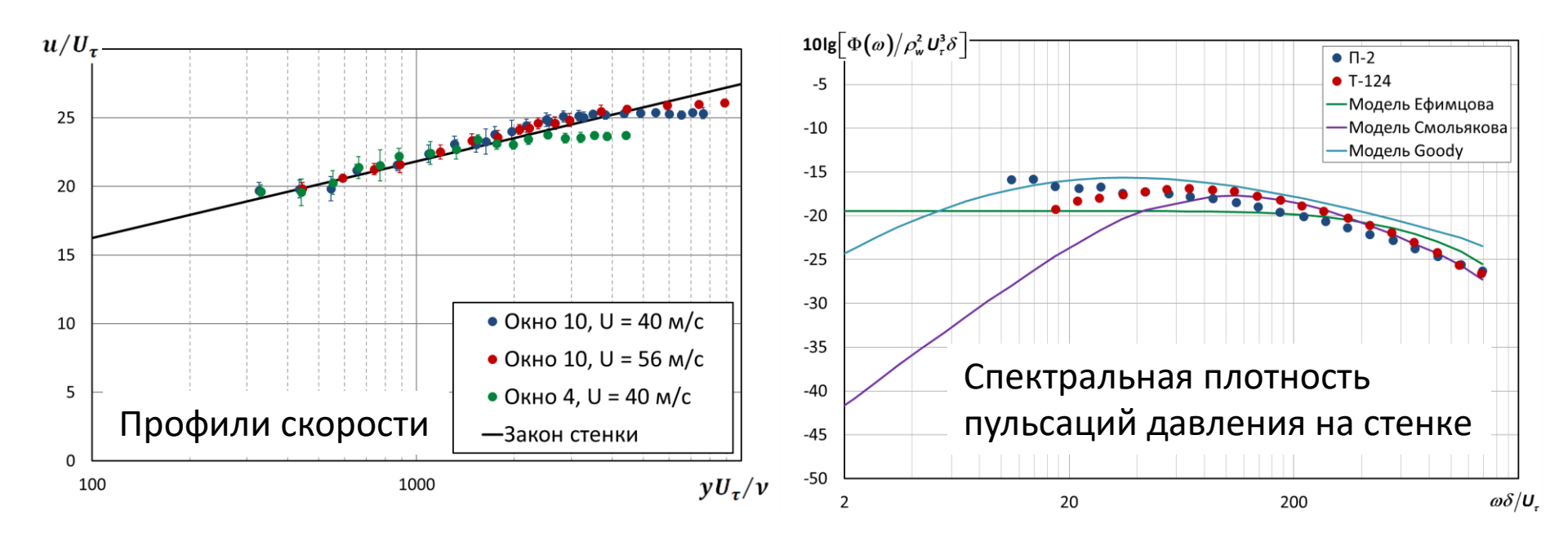


- 1. Колебания линии отрыва и области возвратного течения $fx_r/U < 0.2$
- 2. Сдвиговая неустойчивость слоя смешения $fx_r / U \approx 0.5$

f — частота; x_r — длина области возвратного течения; U — скорость набегающего потока

Экспериментальная установка





Параметры набегающего потока

	δ, мм	δ*, мм	д, мм	<i>U</i> _τ / <i>U</i>	C_f	\textit{Re}_{ϑ}	$Re_{ au}$
Окно 10,	35	3.3	2.6	0.040	0.0031	7150	3810
U = 40 m/c	כס	5.5	2.0	0.040	0.0031	7130	3010
Окно 10,	25		7	0.020	0.0000	10400	F400
U = 56 m/c	35	3.3	2.7	0.038	0.0029	10400	5180
Окно 4,	20	2.0	1.6	0.043	0.0025	4200	25.40
U = 40 m/c	20	2.0	1.6	0.042	0.0035	4300	2540

 δ — толщина пограничного слоя (по 0,99U)

 δ^* – толщина вытеснения

 ϑ — толщина потери импульса

 U_{τ} – динамическая скорость

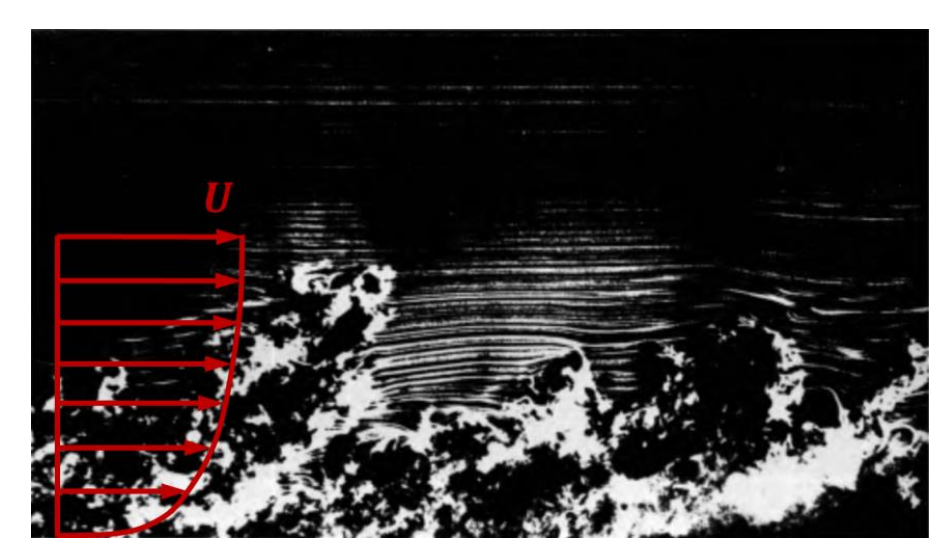
v – кинематический коэффициент вязкости

 $q = \rho U^2 / 2$ — скоростной напор

 C_f = τ / q — коэффициент трения на стенке

 $Re_{\vartheta} = U\vartheta / v$

 $Re_{\tau} = U_{\tau}\delta / v$

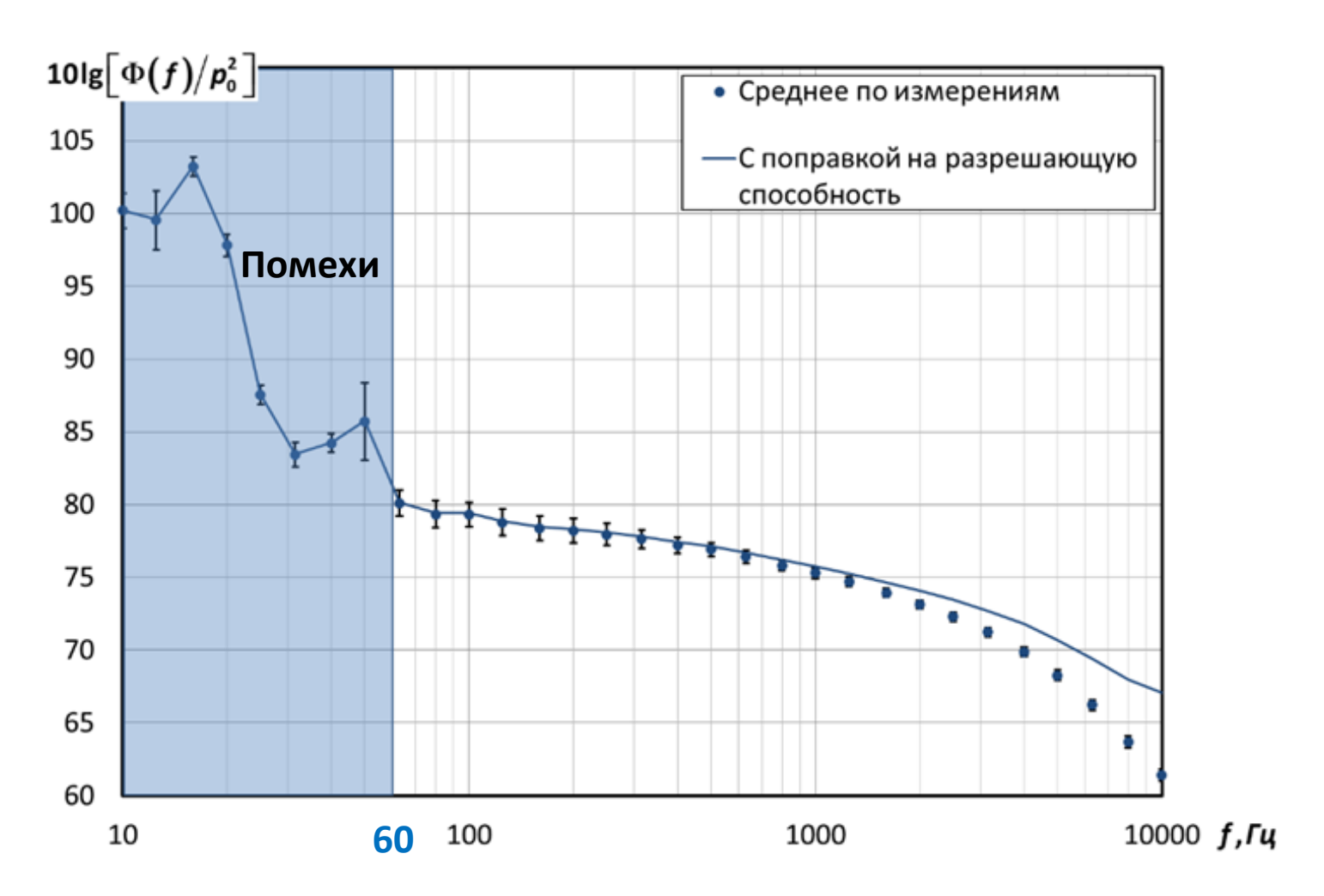


М. Ван-Дайк. Альбом течений жидкости и газа

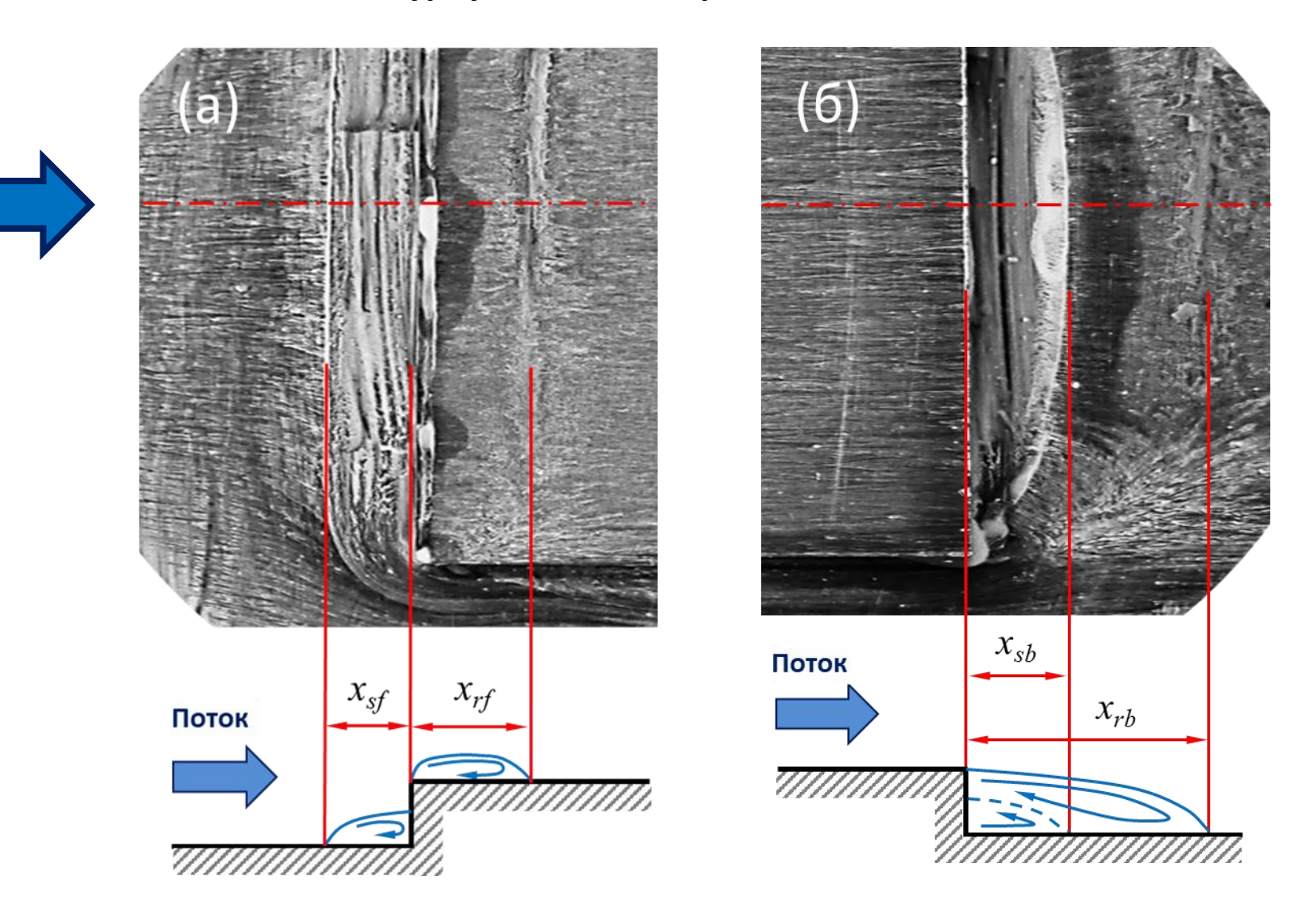
Оценка погрешностей измерений



Выступание/утопание датчиков Efimtsov B.M. et al. // AIAA Paper 2005-800 Разрешающая способность Corcos G.M. // JASA, 1963. V.35. N.2

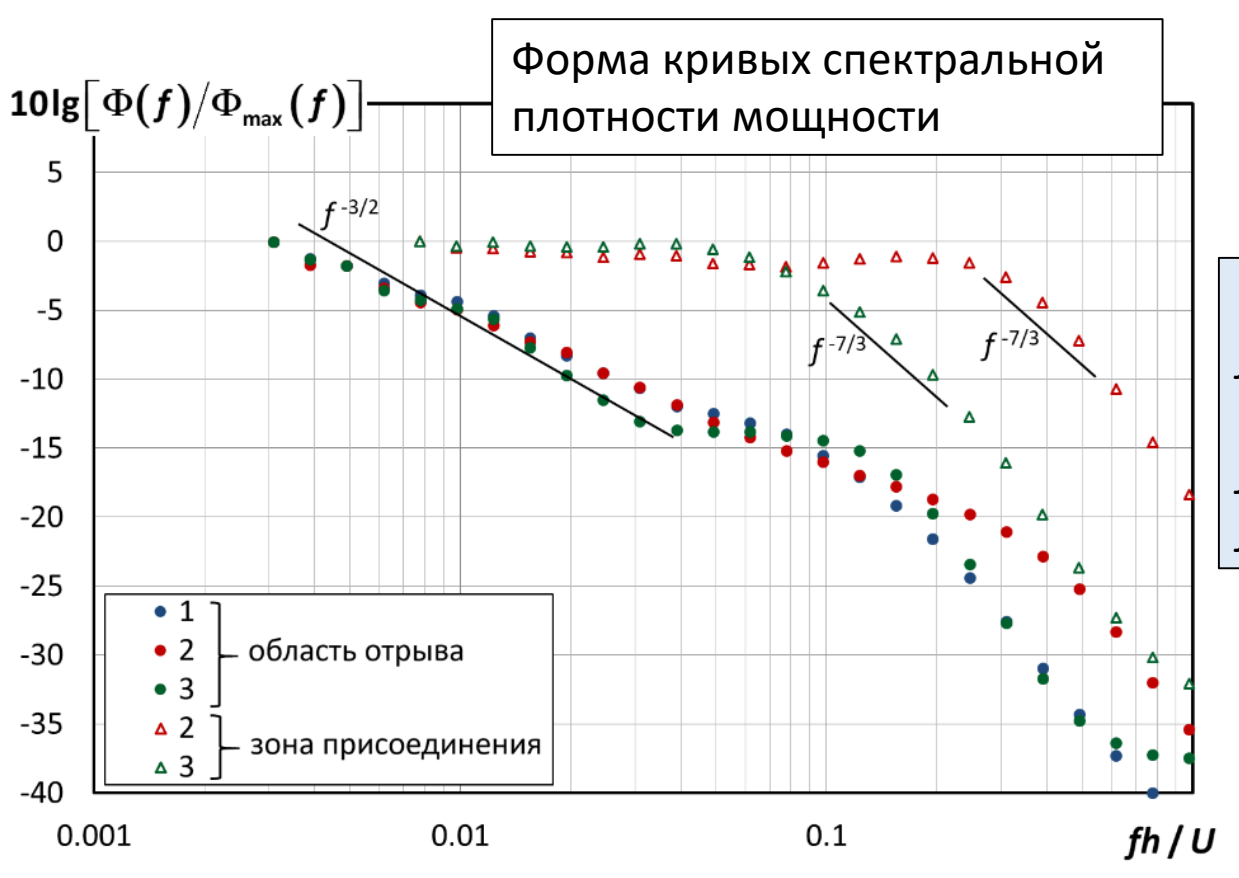


Пристеночные пульсации давления в двумерных отрывных течениях внутри турбулентного пограничного слоя



Визуализация обтекания (а) прямого и (б) обратного уступов

Спектры пристеночных пульсаций давления в двумерных отрывных течениях внутри турбулентного пограничного слоя



Переход к зависимости $f^{-7/3}$ определяется числом Струхаля: $fx_r/U = 0.5$ (прямой уступ) $fx_r/U = 0.3$ (обратный уступ)

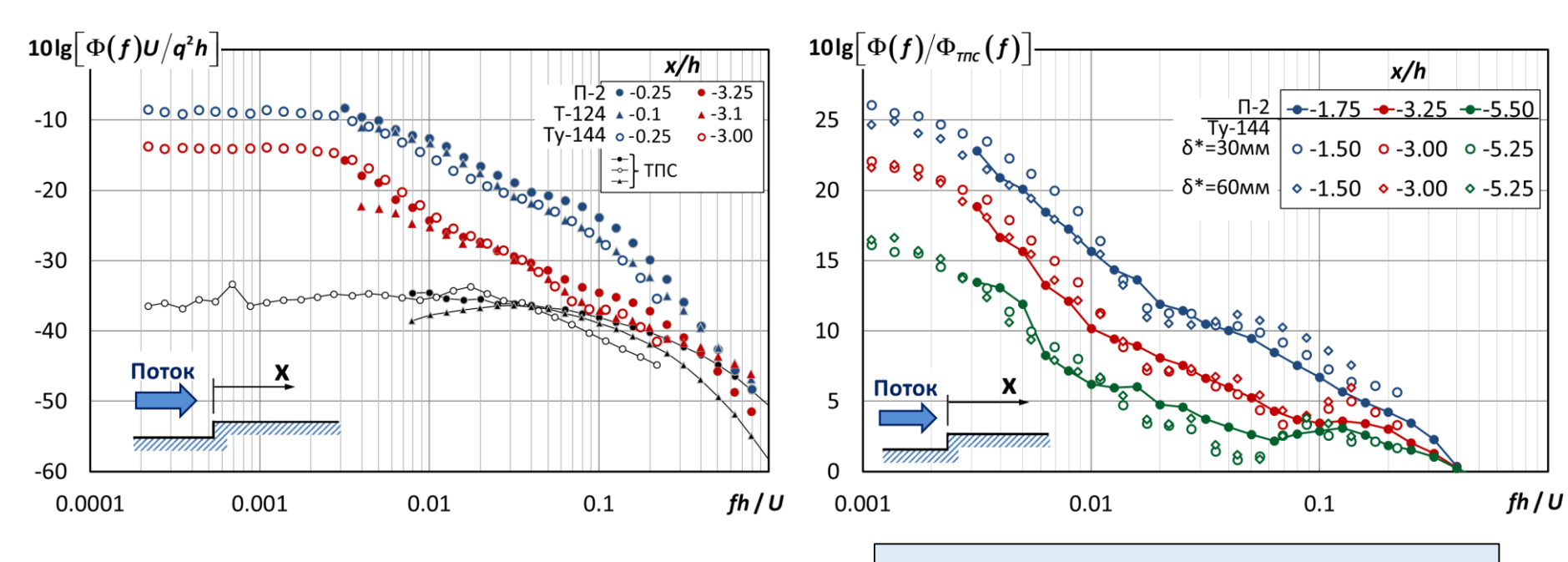
1 – перед прямым уступом

2 – за прямым уступом

3 – за обратным уступом

Высота уступа h = 4 мм Скорость набегающего потока U = 40 м/с

Сравнение результатов, полученных на различных экспериментальных установках и в лётных измерениях



Превышение над ТПС неизменно во всех измерениях

Π-2:
$$M = 0.12$$
 $h/\delta^* = 1.21$
 $Re_{\delta^*} = 0.9^*10^4$
 $h = 4$ MM

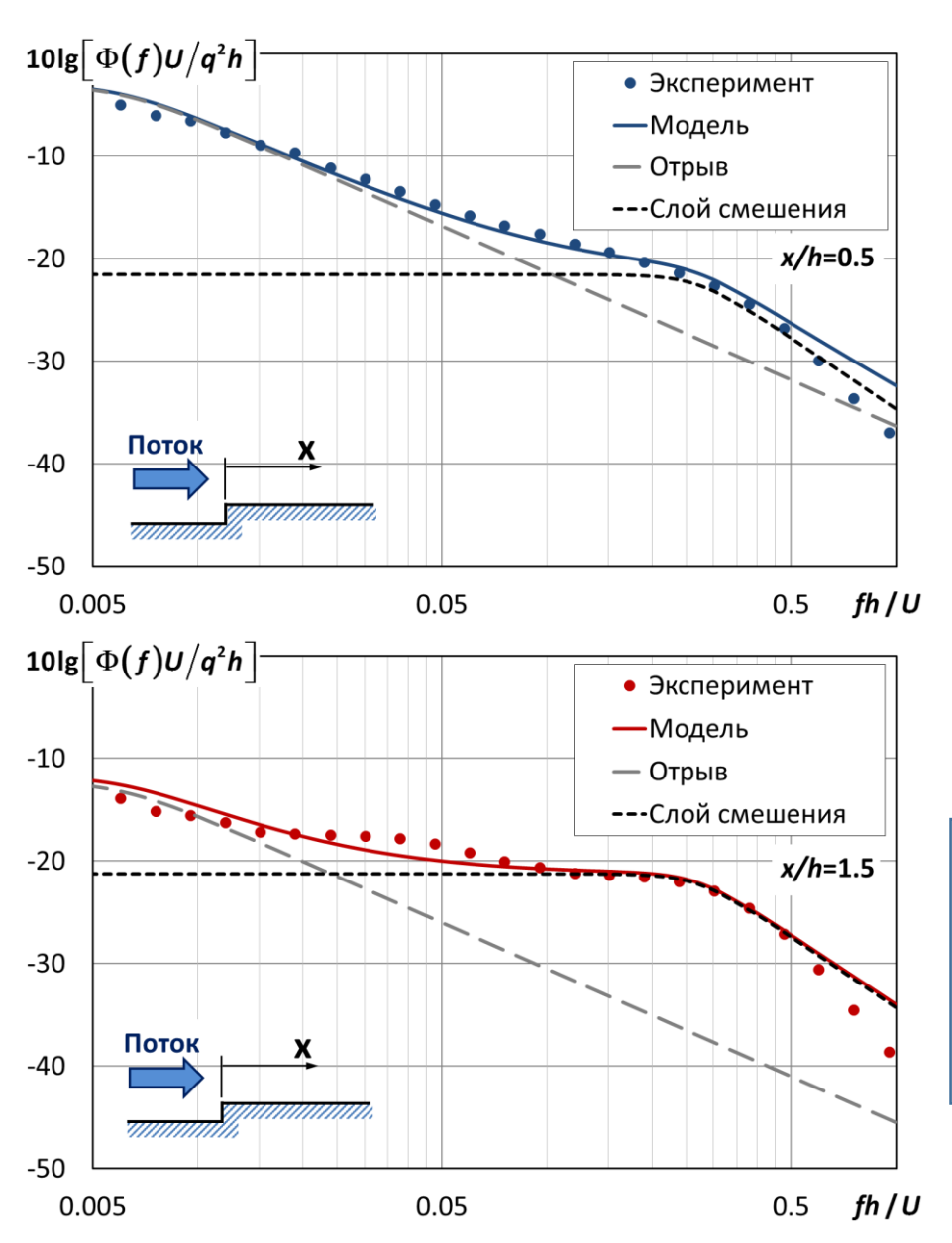
Ty-144:
$$M = 0.57$$

 $h/\delta^* = 0.14$
 $Re_{\delta^*} = 2.5^*10^6$
 $h = 4 \text{ MM}$

T-124: M = 0.15 $h/\delta^* = 0.70$ $Re_{\delta^*} = 2.5^*10^4$ h = 5 MM

Efimtsov et al. (1999)

Моделирование спектральной плотности пристеночных пульсаций давления в окрестности прямых и обратных уступов



$$\frac{\Phi(f)U}{q^2h} = F_{omp} + F_{cmeu}$$

$$F_{omp}\left(Sh, x/h\right) = \frac{\alpha_{omp}(x/h)}{\left[1 + \left(\frac{Sh}{Sh_{0,omp}}\right)^{3*3/2}\right]^{\frac{1}{3}}}$$

$$M = fix$$

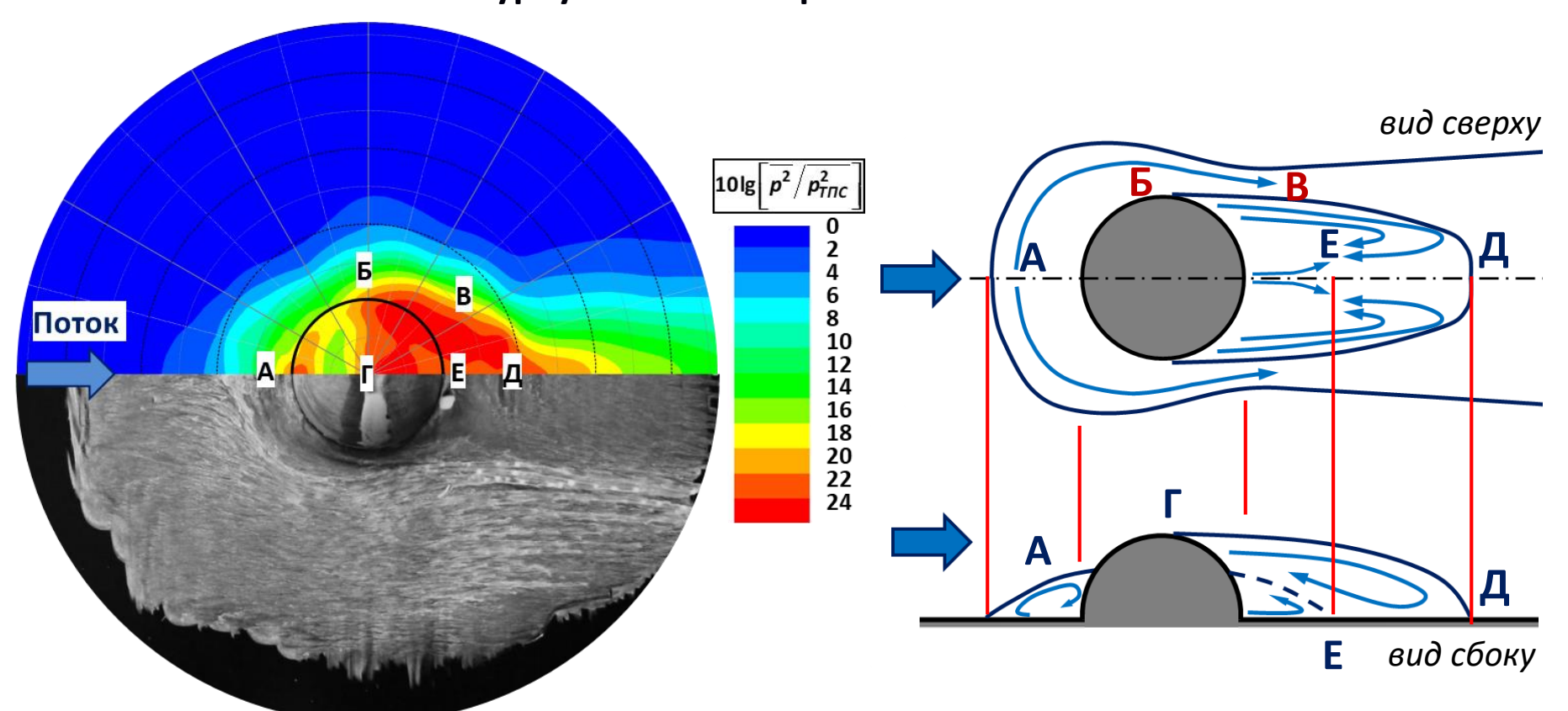
$$M = fix$$

$$F_{cmeu}\left(Sh, x/h\right) = \frac{\alpha_{cmeu}(x/h)}{\left[1 + \left(\frac{Sh}{Sh_{0,cmeu}}\right)^{3*7/3}\right]^{\frac{1}{3}}}$$

$$\alpha_{omp} = f_1 \left(\frac{x}{h}, \frac{h}{h_0}, M, \{T\Pi C\} \right) \qquad Sh_{0,omp} = f_2 \left(\frac{h}{h_0} \right)$$

$$\alpha_{cmeu} = f_3 \left(\frac{x}{h}, \frac{h}{h_0}, M \right) \qquad Sh_{0,cmeu} = const$$

Пристеночные пульсации давления в трёхмерных отрывных течениях внутри турбулентного пограничного слоя



А: отрыв и присоединение ТПС

Б: отрыв потока с боковой поверхности модели

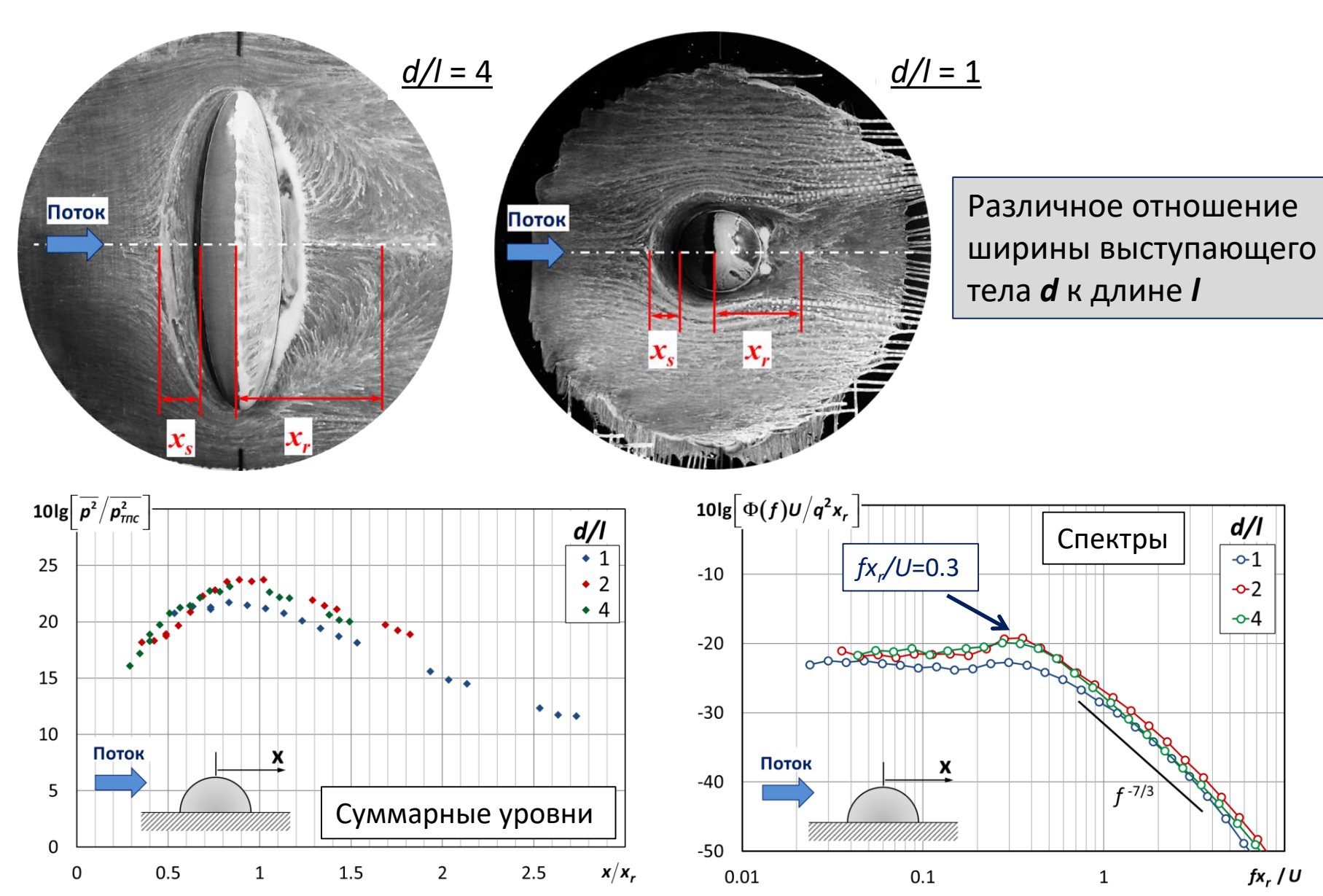
В: слой смешения сбоку от полусферы

Г: отрыв потока с верхней поверхности модели

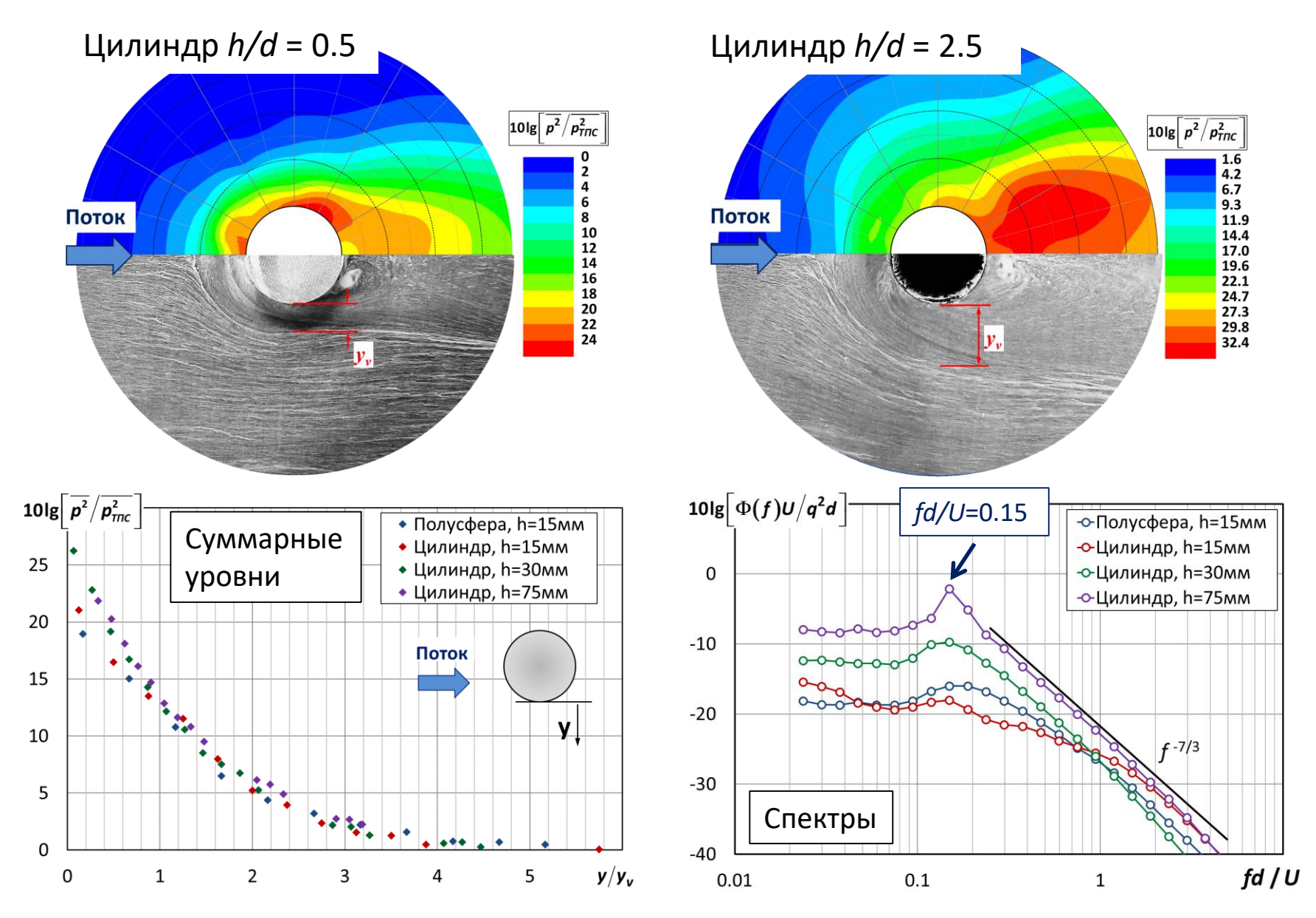
Д: присоединение слоя смешения

Е: вторичный отрыв возвратного течения

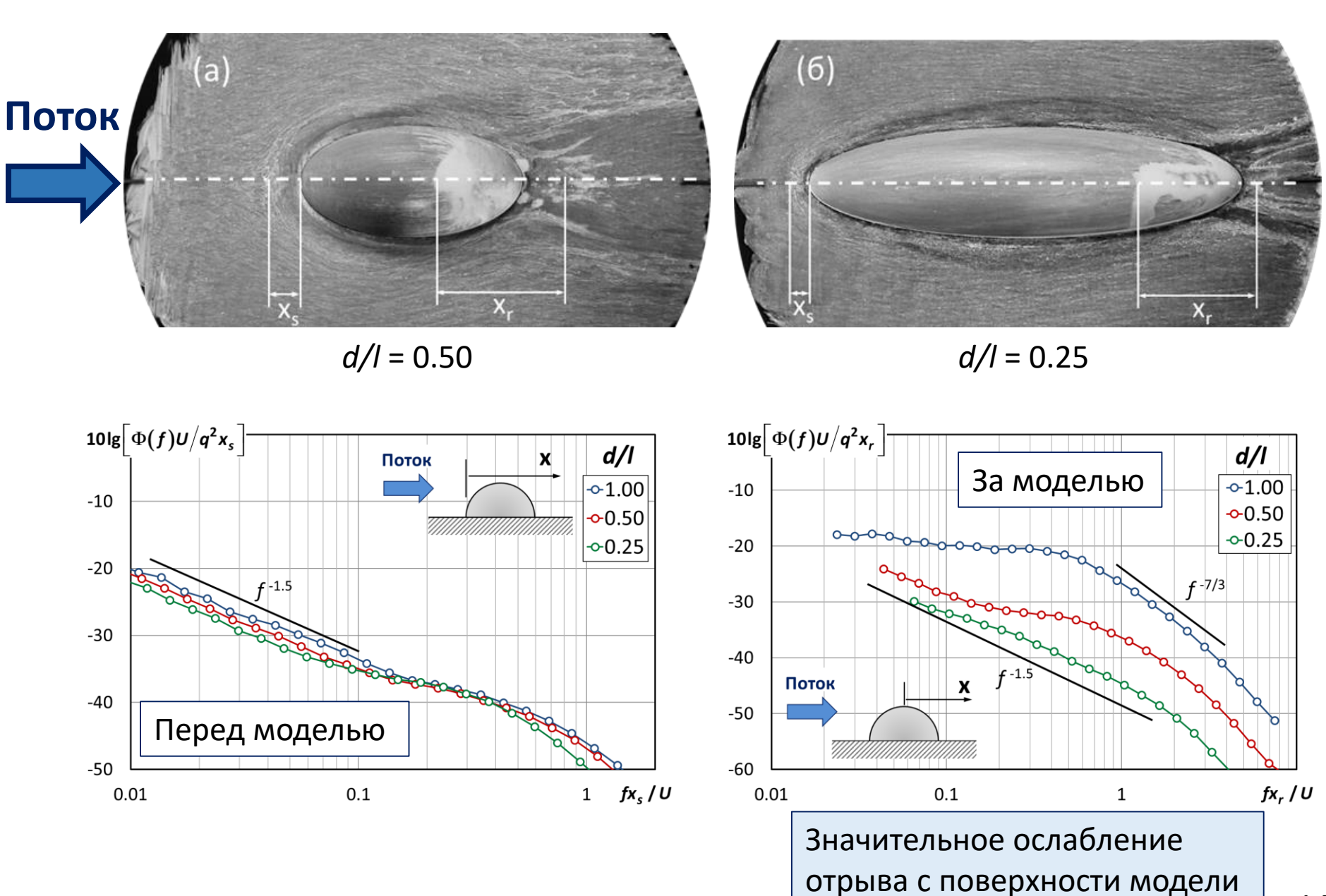
Трансформация поля пристеночных пульсаций давления при переходе от двумерного осреднённого течения к трёхмерному



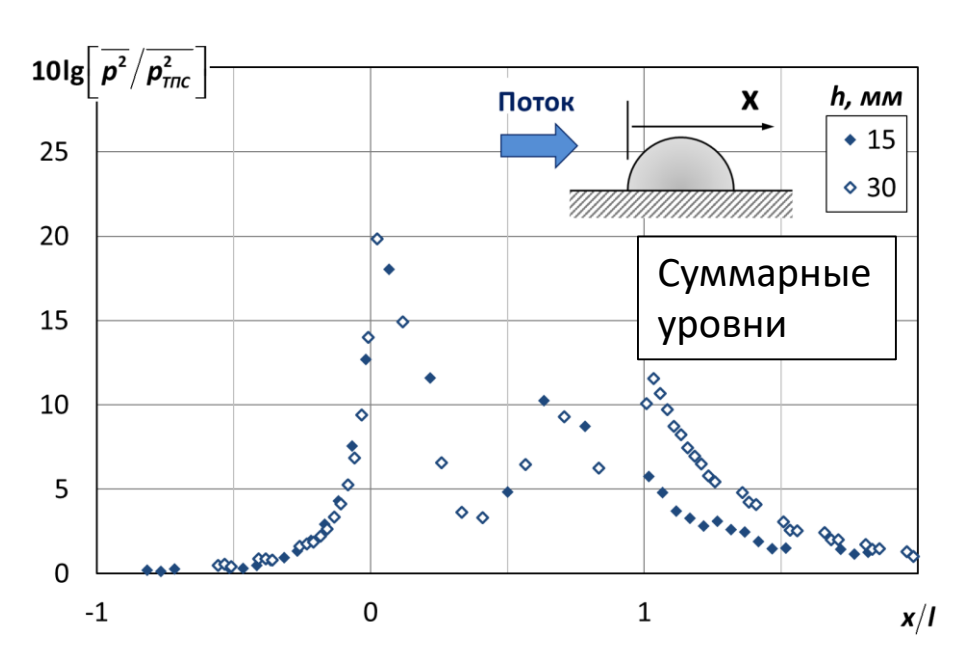
Пристеночные пульсации давления, образующиеся при отрыве потока с боковой поверхности выступающего тела

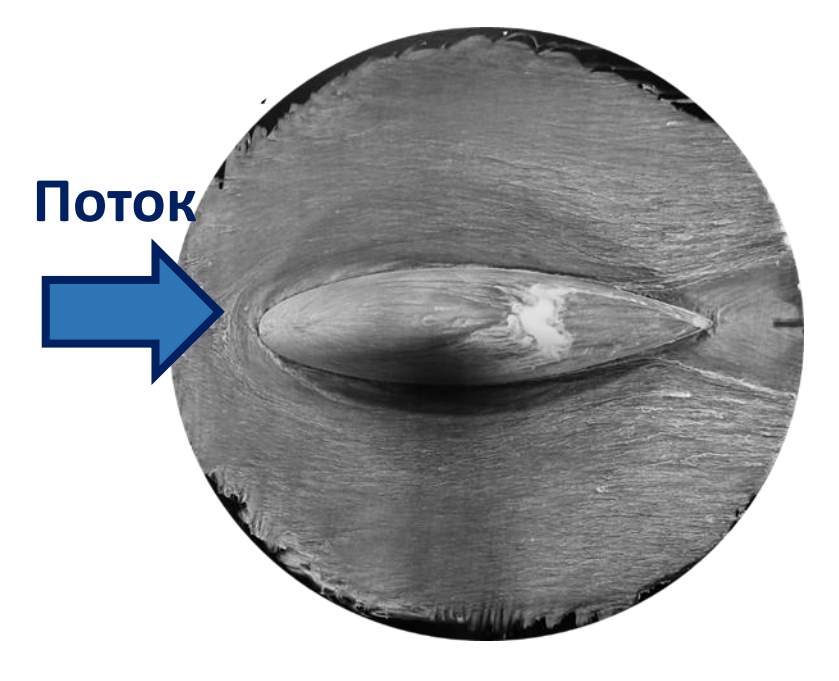


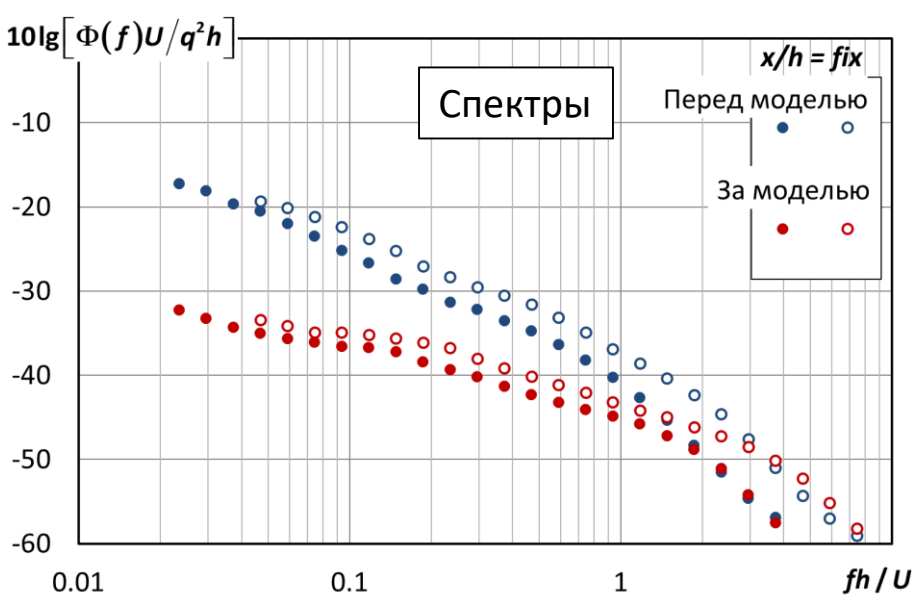
Влияние удлинения выступающего тела



Влияние размера выступающего тела





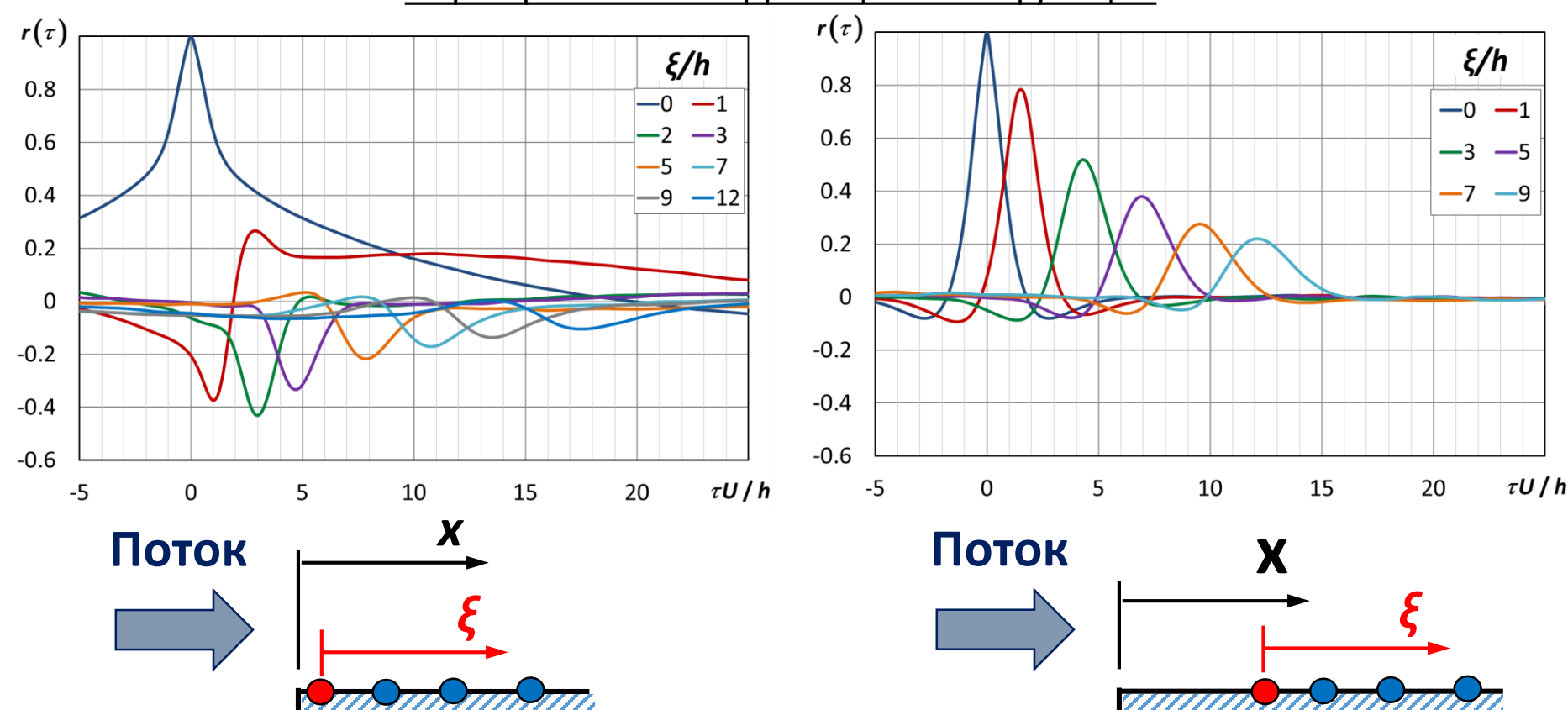


Пустые маркеры – большая модель (*h* = 30 мм)

Закрашенные маркеры — маленькая модель (*h* = 15 мм)

Особенности пространственно-временной структуры возмущений поля пристеночных пульсаций давления в турбулентном пограничном слое

Нормированные корреляционные функции



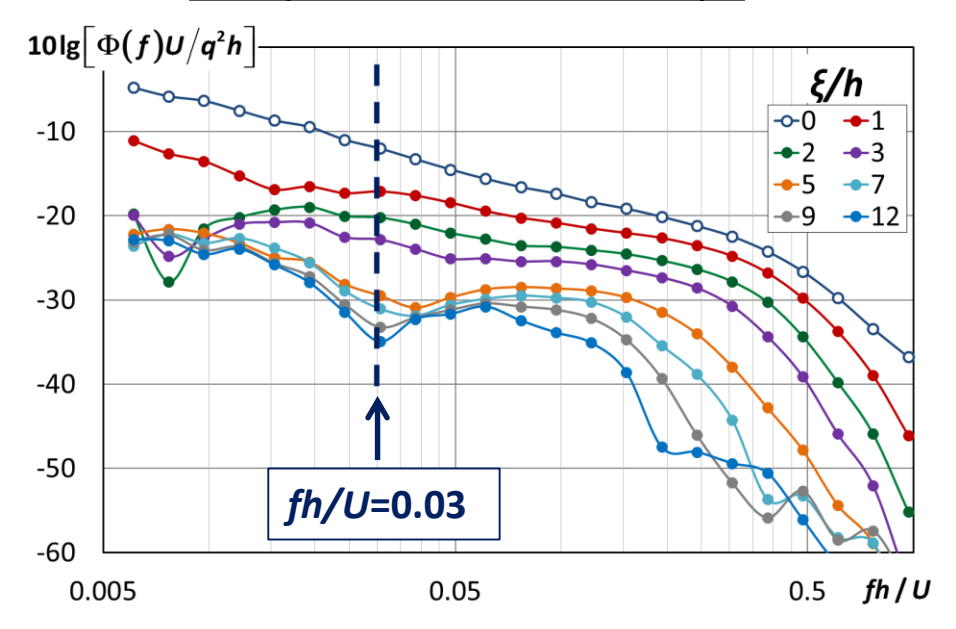
Опорная точка <u>в области</u> <u>отрыва</u> (x/h = 0.5)

Опорная точка <u>за областью</u> присоединения (x/h = 8.0)

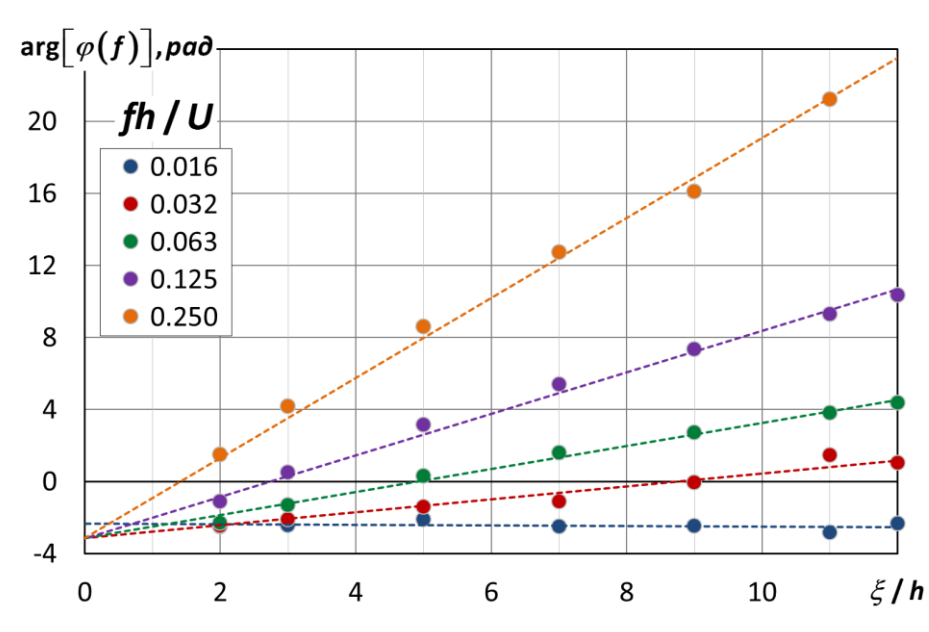
 ξ – расстояние между парой датчиков

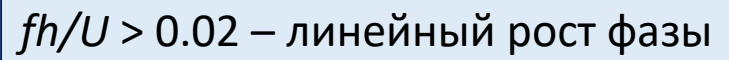
Распространение возмущений из области отрыва потока

Модуль взаимного спектра



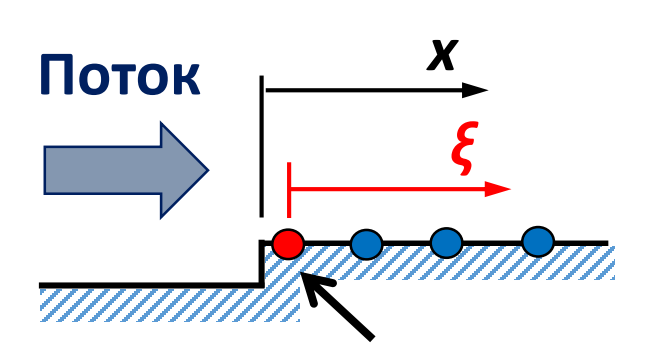
Изменение фазы по пространству





fh/U < 0.02 – практически постоянная фаза

Различная скорость распространения возмущений (в зависимости от числа Струхаля)



Опорная точка <u>в области отрыва</u> (x/h = 0.5)

Глобальные корреляции между пристеночными пульсациями давления в окрестности уступа и набегающим ТПС

Модуль взаимного спектра Наличие глобальной $10 \lg \left[\Phi(f) U / q^2 h \right]$ *ξ/h* корреляции приводит к -0-0.0 увеличению взаимной -10 -4.5 спектральной плотности **→**7.5 -20 **→**10.5 Увеличение ξ/h -12.0 -12.8 -30 Поток **→**13.5 ---ТПС -40 -50 -60

0.005

fh / U

0.5

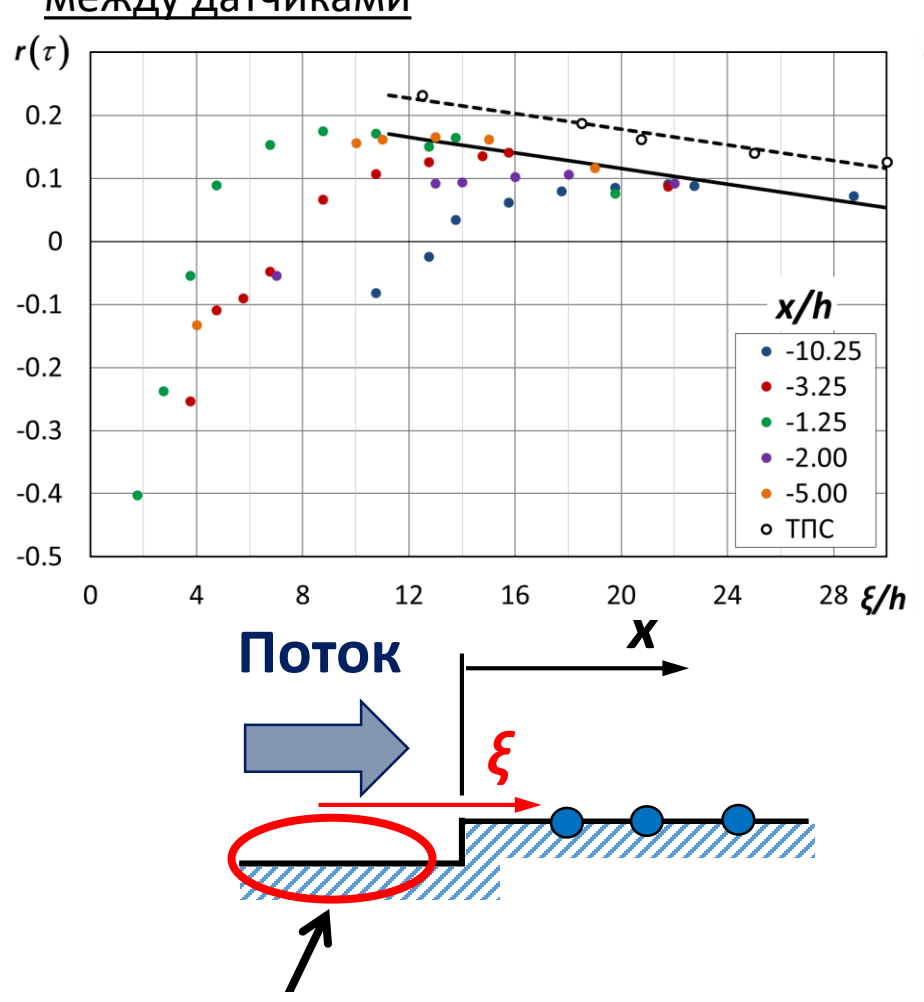
0.05

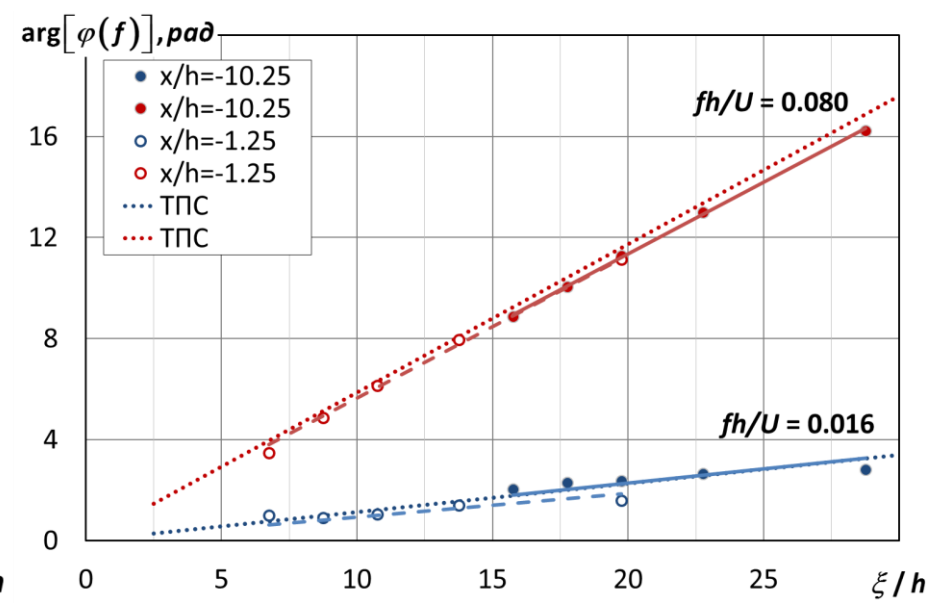
Опорная точка <u>в набегающем ТПС</u> (x/h = -13.8)

Глобальные корреляции между пристеночными пульсациями давления в окрестности уступа и набегающим ТПС

Зависимость корреляции от расстояния между датчиками

Изменение фазы по пространству





На больших расстояниях темпы спада корреляции близки к случаю невозмущённого ТПС

Пространственная зависимость фазы такая же, как в невозмущённом ТПС

Опорные точки <u>в набегающем ТПС и в</u> <u>области отрыва перед уступом</u> (x/h = var)

Заключение

Проведено обобщение полученных данных, на основании которого предложен метод моделирования спектральной плотности мощности пристеночных пульсаций давления в двумерных отрывных течениях в окрестности уступов. В рамках предложенного подхода учитываются различные источники нестационарных возмущений, а именно колебания зоны отрыва и неустойчивость слоя смешения.

Проведены параметрические исследования влияния трёхмерности осреднённого течения на поле пристеночных пульсаций давления в окрестности и на поверхности выступающих тел в турбулентном пограничном слое. Показано, что пространственный характер обтекания, приводит к количественному (вплоть до 6 дБ), но не к качественному изменению спектров возмущений поля пристеночных пульсаций давления в окрестности геометрических неоднородностей.

Определены основные особенности локальной и глобальной пространственновременной структуры возмущений нестационарного поля давления на стенке в турбулентном пограничном слое, создаваемых выступающими в поток телами. Показано, что за пределами областей возвратного течения пульсации давления обладают конвективными свойствами. Установлено, что распространение возмущений вниз по потоку из области отрыва сопряжено с появлением фазового сдвига, который не объясняется конвективным переносом вихревых структур.

Спасибо за внимание!